

72

ИНСТИТУТ
ЯДЕРНОЙ ФИЗИКИ СОАН СССР

ПРЕПРИНТ ИЯФ 76-115

Э.А.Кураев, С.И.Эйдельман

РАДИАЦИОННЫЕ ПОПРАВКИ
К ПРОЦЕССУ $e^+e^- \rightarrow \gamma\gamma$ С УЧЕТОМ
ИЗЛУЧЕНИЯ ЖЕСТКИХ ФОТОНОВ

Новосибирск

1976

РАДИАЦИОННЫЕ ПОПРАВКИ К ПРОЦЕССУ $e^+e^- \rightarrow \gamma\gamma$ С УЧЕТОМ ИЗЛУЧЕНИЯ ЖЕСТКИХ ФОТОНОВ

Э.А.Кураев, С.И.Эйдельман

А Н Н О Т А Ц И Я

Получены выражения для радиационных поправок к процессу $e^+e^- \rightarrow \gamma\gamma$ за счет излучения виртуальных и реальных фотонов произвольной частоты в α^3 приближении теории возмущений. Вычисления проводились в пренебрежении членами $m^2/3$, где \sqrt{s} — полная энергия в с.п.и. e^+e^- пары. Особое внимание уделено процессу $e^+e^- \rightarrow 3\gamma$, для которого получены различные распределения в системе трех конечных фотонов.

Процесс аннигиляции e^+e^- -пары в два и три фотона изучался в рамках квантовой электродинамики (кэд) на протяжении многих лет [1-6]. Этот процесс интересен со многих точек зрения, в частности, в связи с проверкой линейности уравнений кэд^[4]. Интерес к процессу аннигиляции e^+e^- -пары в фотоны в последнее время возрос в связи с экспериментами на встречных пучках с образованием тяжелых резонансов. При изучении радиационных распадов частиц семейства Ψ , например, приходится анализировать конечные состояния, содержащие три фотона [7]. Здесь важным оказывается учет фонового процесса $e^+e^- \rightarrow 3\gamma$, идущего за счет чисто электромагнитного взаимодействия.*

В настоящей работе приводятся результаты расчетов в рамках кэд поправок к сечению двухквантовой аннигиляции e^+e^- -пары при больших энергиях за счет излучения виртуальных и мягких системе центра инерции (с.ц.и.) реальных фотонов (п.1.), а также аналитические выражения для различных распределений в процессе аннигиляции e^+e^- -пары в три фотона (п.2.). Вычисления проводятся в пренебрежении членами порядка m/e

$$(m/e)^2 \ll 1, \quad (1)$$

где $\gamma = 4E^2$ - квадрат полной энергии в с.ц.и. e^+e^- -пары, m - масса электрона. В этом пределе расчеты и результаты значительно упрощаются.

Расчеты поправок от излучения виртуальных и мягких реальных фотонов проводились ранее многими авторами, мы приводим их здесь для полноты изложения. Расчеты для процесса $e^+e^- \rightarrow 3\gamma$ проводились в логарифмическом приближении в работах Б.В.Гашненбайна и М.В.Терентьева [4]. Наши же результаты являются точными в степенном приближении (I). Полное сечение аннигиляции e^+e^- -пары в фотоны в δ^3 порядке теории возмущений (т.в.) вычислялось Андреасси и др. [6], однако, их результаты неточны.

I. Матричный элемент процесса аннигиляции e^+e^- -пары в два фотона

$$e_+(p_1) + e_-(p_2) \rightarrow \gamma(q_1) + \gamma(q_2) \quad (2)$$

с точностью до членов порядка δ^2 имеет вид [1,2]

*). Заметим, что изучение процесса $e^+e^- \rightarrow 3\gamma$ является критическим для проверки недавно предложенной С.Я.Гузенко [13] модели кэд, предсказывающей неаналитическое поведение (скакки) дифференциального сечения.

$$-4\pi\alpha i \bar{U}(P_-) [R_0 + S_0 - i \frac{\alpha}{\pi} (R_1 + S_1)] V(-P_+) \quad (3)$$

где $U(P_-)$, $V(-P_+)$ - спиноры, отвечающие начальным электрону и позитрону; величины $R_0 = -\kappa^2 \hat{e}_2 \hat{p}_3 \hat{e}_1$, $S_0 = -\tilde{\kappa}^{-1} \hat{e}_1 \hat{p}_4 \hat{e}_2$, где $\kappa = 2P_0 q_0/m^2$, $\tilde{\kappa} = 2P_0 q_0/m^2$, $P_{3M} = P_- q_{1,2} i \hat{b}_{12}$ вектора поляризации фотонов, соответствуют диаграммам рис. 1 а, б и описывают процесс в борновском приближении. Величины R_1 , S_1 , отвечают диаграммам рис. 2.

Дифференциальное сечение для фотона с импульсом q_1 , лежащего в телесном угле dO_1 в с.п.и. e^+e^- , просуммированное по спиновым состояниям конечных фотонов и усредненное по спиновым состояниям e^+e^- , имеет вид

$$d\sigma/dO_1 = \frac{d^3}{25} [U + \frac{\alpha}{\pi} \text{Re}(\mathcal{P}(\kappa, \tilde{\kappa}) + \mathcal{P}(\tilde{\kappa}, \kappa))], U = \frac{\kappa}{\tilde{\kappa}} + \frac{\tilde{\kappa}}{\kappa}. \quad (4)$$

Величина $\mathcal{P}(\kappa, \tilde{\kappa})$ в (4) имеет в приближении (I) следующий вид

$$\mathcal{P}(\kappa, \tilde{\kappa}) = \frac{1}{32} \Im p(-\hat{p}_+) R_1 \hat{p}_- (\hat{R}_0 + \hat{S}_0) \quad (5)$$

где $\bar{A} = \gamma_0 A^+ \gamma_0$. Вклад в величину R_1 , от диаграммы рис. 2а будет

$$\begin{aligned} & -23 \hat{e}_2 \hat{p}_3 \hat{e}_1 \cdot \gamma + 2 \gamma_\rho [-\hat{p}_- \gamma_\rho \hat{e}_2 \hat{p}_3 \hat{e}_1 + 3 \hat{e}_2 \gamma_\rho \hat{e}_1 + \hat{e}_2 \hat{p}_3 \hat{e}_1 \gamma_\rho \hat{p}_+] + \\ & + 2 \gamma_\sigma [\hat{p}_- \gamma_\sigma \hat{e}_2 \gamma_\sigma \hat{e}_1 - \gamma_\sigma \hat{p}_- \hat{p}_3 \hat{e}_2 \gamma_\sigma - \hat{e}_2 \gamma_\sigma \hat{e}_1 \gamma_\sigma \hat{p}_+] + \\ & + 2 \gamma_\rho \gamma_\sigma \gamma_\tau \hat{e}_1 \gamma_\sigma \hat{e}_2 \gamma_\tau, \end{aligned} \quad (6)$$

где

$$\gamma, \gamma_\rho, \gamma_\sigma, \gamma_\tau = (2i/\pi^2) \int d^4 k [(\phi)(\kappa)(1)(2)]^{-1} (1, \kappa, \kappa, \kappa),$$
 $(0) = \kappa^2 - \lambda^2, (1) = (P_0 - \kappa)^2 - m^2, (2) = (P_+ + \kappa)^2 - m^2,$

λ - "масса" фотона. Выражения для интегралов приведены в приложении I. Вклад в R_1 от диаграмм рис. 2б, 2в с помощью выражения для вершинной функции (см. приложение II) будет

$$-e_2 p_3 \kappa^{-1} [-2\kappa \kappa^{-1} (\hat{p}_- \hat{q}_1 - \hat{q}_1 \hat{p}_-) \hat{e}_1 + \hat{e}_1 (-2 \ln \frac{\lambda^2}{m^2} - 1) - 4 \kappa^{-1} \hat{q}_1 (e_1 p_-)]$$

$$+ [-2\kappa \kappa^{-1} \hat{e}_2 (\hat{q}_2 \hat{p}_+ - \hat{p}_+ \hat{q}_2) + \hat{e}_2 (-2 \ln \frac{\lambda^2}{m^2} - 1) - 4 \kappa^{-1} \hat{q}_2 (e_2 p_+)],$$

$$c = \kappa (k-1)^{-2} \ln \kappa$$

- параметр обрезания.

Диаграмма рис. 2г дает (пользуясь выражением для собственно-энергетической функции электрона в приложении III)

$$\hat{e}_2 (\hat{p}_3 - m)^{-1} [A (\hat{p}_3 - m) + B] (\hat{p}_3 - m)^{-1} \hat{e}_1, \quad A = 2 \ln \frac{\lambda^2}{m^2} + c (k-1)^{-1} \times k (-2k+4) + 5 - 2k (k-1)^{-1}; \quad B = -6 \ln \frac{\lambda^2}{m^2} - 3 - 2k (k-1)^{-1} + c (6k-4) (k-1)^{-1}.$$

Учитывая контрчлены от перенормировки массы электрона и его волновой функции [8], получим для суммарного вклада в R_1 , от диаграмм рис. 2б, 2в, 2г:

$$2C \kappa^{-2} [\hat{e}_2 (\hat{q}_2 \hat{p}_+ - \hat{p}_+ \hat{q}_2) \hat{p}_3 \hat{e}_1 + \hat{e}_2 \hat{p}_3 (\hat{p}_- \hat{q}_1 - \hat{q}_1 \hat{p}_-) \hat{e}_1] + 4 \kappa^{-2} [(e_2 p_+) \times \hat{q}_2 \hat{p}_3 \hat{e}_1 + (e_1 p_-) \hat{e}_2 \hat{p}_3 \hat{q}_1] + \kappa^{-1} (2C - 10 - 4 \ln \frac{\lambda^2}{m^2}) \hat{e}_2 \hat{p}_3 \hat{e}_1. \quad (7)$$

Отсылая за деталями более подробных вычислений к приложениям I, IV, мы приведем окончательное выражение для величины $\mathcal{P}(\kappa, \tilde{\kappa})$ в приближении (I):

$$\begin{aligned} 4 \mathcal{P}(\kappa, \tilde{\kappa}) = & \frac{\tilde{\kappa}}{\kappa} [4(\tilde{\kappa}-1) \ln \frac{\lambda^2}{m^2} - 8Cg + 2\pi^2 + 2C - 10] + (\pi^2 - g^2)(-2 - \\ & - \frac{\tilde{\kappa}}{\kappa} - \frac{2\kappa}{\tilde{\kappa}}) + (\frac{\pi^2}{3} + 4Cg - g^2)(-2 + \frac{\tilde{\kappa}}{\kappa} - \frac{2\kappa}{\tilde{\kappa}}) + 4(\frac{\pi^2}{3} + \frac{C^2}{2})(2 + \frac{\tilde{\kappa}}{\kappa} + \frac{2\kappa}{\tilde{\kappa}}) + \\ & + 4C(1 + \frac{\tilde{\kappa}}{\kappa}) - 4g + 4\frac{\tilde{\kappa}}{\kappa}, \end{aligned} \quad (8)$$

где $g = \ln \lambda/m^2$, $C = \ln \kappa$. Полученная нами величина $\mathcal{P}(\kappa, \tilde{\kappa})$ согласуется с результатами [1]. Учет излучения мягких ($\omega < \Delta\varepsilon \ll \varepsilon$) в системе центра инерции e^+e^- пары фотонов приводит (см. приложение у) к следующему выражению

$$(d\sigma/dO_1)^{\text{soft}} = (d\sigma/dO_1) \left(-\frac{\alpha}{\pi} \right) \left\{ 2(1-g) \ln \frac{m \Delta\varepsilon}{\lambda \varepsilon} - \frac{1}{2} g^2 + \frac{\pi^2}{6} \right\} \quad (9)$$

$d\sigma/dO_1 = (\alpha^2/2g) U$ борновское сечение аннигиляции e^+e^- в два фотона. Суммируя (4) (с учетом (8)) и (9), получим для сечения $e^+e^- \rightarrow \gamma\gamma$ с учетом излучения виртуальных и мягких реальных фотонов:

$$\frac{d\sigma}{d\Omega_1} = \left(\frac{2}{3}\right) \left\{ \mathcal{U} \left[1 - \frac{\alpha}{\pi} \left(2(1-\beta) \ln \frac{\Delta \Sigma}{\Sigma} - \frac{\pi^2}{3} + \frac{3}{2}(1-\beta) \right) \right] + \frac{\alpha}{\pi} \left[(1 + \frac{3\beta}{\lambda}) (\ln \kappa - \beta) + (1 + \frac{3\kappa}{2\beta}) (\ln \tilde{\kappa} - \beta) + (1 + \frac{\kappa}{\beta} + \frac{\beta}{2\kappa}) (\ln \kappa - \beta)^2 + (1 + \frac{\beta}{\kappa} + \frac{\kappa}{2\beta}) (\ln \tilde{\kappa} - \beta)^2 \right] \right\} \quad (10)$$

Здесь $\Delta \Sigma$ — максимальная энергия мягкого (недетектируемого) фотона в с.ц.и.

$$\kappa = (\beta/m^2) \sin^2 \theta / 2, \quad \tilde{\kappa} = (\beta/m^2) \cos^2 \theta / 2, \quad \theta \text{ — угол в с.и.}$$

и между импульсом фотона \vec{q}_1 , и направлением импульса начального электрона \vec{p}_- , $\beta = 4\varepsilon^2$, Σ — энергия одного из пучков в с.ц.и. Результат (10) согласуется также с приведенным в работе Беренда, Гастмана [3].

2. В этом разделе мы получим аналитические выражения для различных распределений в процессе аннигиляции e^+e^- пары в три фотона в приближении (I). Наш метод вычислений близок к использованному Гешкенбейном и Терентьевым [4]. Подробно он изложен в работе одного из нас [9] при вычислении распределений в процессе $e^+e^- \rightarrow \mu^+\mu^-\gamma$. Сечение процесса $e^+e^- \rightarrow 3\gamma$, просуммированное по спиновым состояниям фотонов и усредненное по спину и e^+e^- пары, имеет вид [4]

$$d\sigma = \frac{(4\pi\alpha)^3}{3} \cdot \frac{(2\pi)^4 \delta^{(4)}(\vec{p}_+ + \vec{q}_1 + \vec{q}_2 + \vec{q}_3)}{3! (2\pi)^3 (2\pi)} \frac{d^3 q_1 d^3 q_2 d^3 q_3}{2w_1 2w_2 2w_3} \frac{1}{3 \overline{|M|^2}}. \quad (II)$$

Входящий в (II) квадрат модуля матричного элемента процесса $e^+e^- \rightarrow 3\gamma$ $\overline{|M|^2}$ может быть получен из аналогичной величины для процесса двойного комптоновского рассеяния $e^-\gamma \rightarrow e^-\gamma\gamma$, найденной Мандлем и Скирмом [2]:

$$\overline{|M|^2} = \frac{m^2}{4} \sum_{\text{спарн}} |M|^2 = -2(\alpha\beta - c)[(\alpha + \beta)(x + z) - \alpha\beta + c - g] + 2x(\alpha^2 + \beta^2) + + 8c - 4x\alpha\beta[(A + B)(1 + x) - (\alpha A + \beta B)(2 + z\beta^2(1 - x)) + x^2(1 - z) + 2z] + \frac{(I2)}{2g} [\alpha\beta + c(1 - x)],$$

$$\text{где } a = \sum \kappa_i^{-1}, \quad b = \sum (\kappa'_i)^{-1}, \quad c = \sum (\kappa_i \kappa'_i)^{-1}, \quad x = \sum \kappa_i, \quad z = \sum \kappa_i \kappa'_i,$$

$$A = \kappa_1 \kappa_2 \kappa_3, \quad B = \kappa'_1 \kappa'_2 \kappa'_3, \quad g = \sum (\kappa'_i \kappa_i^{-1} + \kappa_i (\kappa'_i)^{-1})$$

$$\kappa_i = p_i q_i / m^2, \quad \kappa'_i = p_i q'_i / m^2, \quad i = 1, 2, 3.$$

Выражение (17) позволяет получить полное сечение аннигиляции, оставляя в (12) лишь члены, дающие вклад в сечение в пределе $(m/\varepsilon)^2 \ll 1$, перепишем его в виде

$$(3/m^2) \frac{1}{\overline{|M|^2}} = \frac{g^2 (\kappa_1^2 + \kappa_2^2)}{m^4 \kappa_1 \kappa_2 \kappa_3 \kappa'_1 \kappa'_2 \kappa'_3} - \frac{2g}{m^2 \kappa_1^2} \left(\frac{\kappa'_2}{\kappa'_1} + \frac{\kappa'_3}{\kappa'_2} \right) - \frac{2g}{m^2 \kappa_1^2} \left(\frac{\kappa_3}{\kappa_2} + \frac{\kappa_2}{\kappa_3} \right) + (1 \rightarrow 2, 2 \rightarrow 3, 3 \rightarrow 1) + (1 \rightarrow 3, 3 \rightarrow 2, 2 \rightarrow 1). \quad (13)$$

Греобразуем фазовый объем конечных частиц в виду

$$\frac{d^3 q_1 d^3 q_2 d^3 q_3}{3 2w_1 2w_2 2w_3} \frac{(2\pi)^4}{(2\pi)^3} \delta^{(4)}(\vec{p}_+ + \vec{q}_1 + \vec{q}_2 + \vec{q}_3) = (4\pi)^{-4} \gamma_1 d\gamma_1 \gamma_2 d\gamma_2 d\gamma_3 d\varphi \times \delta[4(\gamma_1 - \gamma_1' - \gamma_2) + 2\gamma_1 \gamma_2 (1 - P)], \quad P = \gamma_1 \gamma_2 \sqrt{1 - \gamma_1^2} \sqrt{1 - \gamma_2^2} \cos \varphi, \quad (14)$$

где φ — угол между плоскостями $\vec{q}_1 \vec{p}_+$ и $\vec{q}_2 \vec{p}_+$, γ_i — косинусы углов вылета фотонов \vec{q}_1, \vec{q}_2 к направлению импульса начального электрона \vec{p}_+ , $\gamma_i' = w_i/\varepsilon$ — доли энергий конечных фотонов. Выполнив интегрирование по φ в (14) с помощью δ -функции, (14) можно записать в виде

$$\frac{1}{2} (4\pi)^{-4} d\gamma_1 d\gamma_2 d\gamma_3 d\varphi \left[1 - \alpha - \gamma_1^2 - \gamma_2^2 + 2\alpha \gamma_1 \gamma_2 \right]^{\gamma_2}, \quad \alpha = \frac{2(1 - \gamma_1 - \gamma_2) + \gamma_1 \gamma_2}{\gamma_1 \gamma_2}. \quad (14a)$$

Пользуясь (14a), а также следующими из определения углов и законов сохранения энергии импульса соотношениями

$$\kappa_i (3/m^2)^{-1} = \frac{1}{4} \gamma_i (1 - \gamma_i \beta), \quad \kappa'_i (3/m^2)^{-1} = \frac{1}{4} \gamma'_i (1 + \gamma'_i \beta), \quad 1 - \beta^2 = 4m^2/3, \quad (15)$$

$$\gamma_1 + \gamma_2 + \gamma_3 = 2, \quad \gamma_1 \gamma_2 + \gamma_2 \gamma_3 + \gamma_3 \gamma_1 = 0$$

получаем из (II) следующее распределение по энергиям конечных частиц:

$$\frac{d^2 \delta}{d\gamma_1 d\gamma_2} = \frac{2m^3}{35} [F_{123} + F_{312} + F_{231}], \quad F_{123} = \Phi_{123} + \Phi_{123}', \quad (16)$$

$$\Phi_{123} = \int_{-1}^1 \int_{-1}^1 \frac{d\gamma_2}{[(\gamma_1 - \gamma_2)(\gamma_2 - \gamma_3)]^{\frac{1}{2}}} \frac{\gamma_3^2 + (\gamma_1 \gamma_2 + \gamma_2 \gamma_3)^2}{\gamma_1^2 \gamma_2^2 (1 - \gamma_1^2 \beta^2)(1 - \gamma_2^2 \beta^2)},$$

$$\Phi_{123}' = \frac{-2m^2}{3} \int_{-1}^1 \frac{d\gamma_2}{(1 - \beta \gamma_2)^2} \int_{-1}^1 \frac{d\gamma_3}{[(\gamma_1 - \gamma_2)(\gamma_2 - \gamma_3)]^{\frac{1}{2}}} \left[\frac{\gamma_1(1 + \gamma_2)}{\gamma_3(1 + \beta \gamma_3)} + \frac{\gamma_3(1 + \gamma_2)}{\gamma_1(1 + \beta \gamma_3)} \right],$$

$$\gamma_{\pm} = \gamma_2 \alpha \pm [(1 - \gamma_2^2)(1 - \alpha^2)]^{\frac{1}{2}},$$

В работе [4] учтено лишь первое слагаемое в (13). Осталь-

ные слагаемые отвечают случаю, когда один из фотонов распространяется вдоль оси пучков. Интегрирование по ξ_1, ξ_2 в (16) дает (см. приложение VI)

$$F_{123} = -(\gamma_1^{-2} + \gamma_2^{-2}) \ln \frac{\beta}{m^2} + \frac{[\gamma_2^2 + (\gamma_1 - \gamma_2)^2]}{2\gamma_1^2 \gamma_2^2} \cdot \frac{1/\xi_1}{(1 - \gamma_1 \gamma_2)} + \frac{[\gamma_2^2 + (\gamma_1 + \gamma_2)^2]}{2\gamma_1^2 \gamma_2^2} \cdot \frac{\gamma_1 \gamma_2}{1 - \gamma_1} \ln \frac{3(1 - \gamma_2)}{m^2 \gamma_1 \gamma_2} - \gamma_2^{-2} (1 - \gamma_1)^2 (1 - \gamma_2)^2 [\gamma_1^2 + (1 - \gamma_2)^2], \quad (17)$$

Последнее слагаемое в (17) отвечает членам в (13) $\sim (n/5)$. Отметим, что распределение по энергиям конечных частиц (16, 17) (Далин - плот) можно переписать в терминах углов между фотонами в плоскости, образованной импульсами конечных фотонов в с. ц. и., если воспользоваться соотношениями

$$\gamma_i = \cos \frac{\theta_{ik}}{2} \left[\ln \frac{\theta_{ik}}{2} \ln \frac{\theta_{ij}}{2} \right]^{-1} \quad (18)$$

Где θ_{ik} - углы в с. ц. и. между i -м и k -м фотоном,

$$0 < \theta_{ik} < \pi, \quad \theta_{12} + \theta_{13} + \theta_{23} = 2\pi$$

Заметим, что углы эти связаны с частотами следующим образом

$$\cos \theta_{ik} = 1 - \frac{2(1 - \gamma_i)}{\nu_i \nu_k},$$

Перейти от переменных γ_i к переменным θ_{ik} можно, пользуясь соотношением

$$d\nu_1 d\nu_2 d\nu_3 \delta(\sum \gamma - 1) = \frac{1}{2} \frac{\cos \frac{\theta_{12}}{2} \cos \frac{\theta_{13}}{2} \cos \frac{\theta_{23}}{2}}{\left[\ln \frac{\theta_{12}}{2} \ln \frac{\theta_{13}}{2} \ln \frac{\theta_{23}}{2} \right]^2} d\theta_{12} d\theta_{13} d\theta_{23} \delta(2\pi - \sum \theta_{ik}). \quad (18a)$$

Результаты численного интегрирования (17) для энергии $2\Sigma = 3\text{GeV}$ приведены на диаграмме рис. 3 в терминах наибольшей и наименьшей эффективной массы фотонов [?].

Заметим попутно, что кривые, соответствующие фиксированной инвариантной массе двух фотонов на этой диаграмме даются уравнением

$$m_{12}^2 = (q_1 + q_2)^2 = 3 \sin \frac{\theta_{23}}{2} \sin \frac{\theta_{13}}{2}. \quad (18b)$$

Выражение (17) позволяет получить полное сечение аннигиляции e^+e^- пары в три фотона в кинематике, когда энергии фотонов превышают некоторую величину $M \ll \Delta\Sigma \ll \Sigma$:

$$\sigma^{(3)} = \frac{2\alpha^3}{3} \left\{ 2(\gamma-1)^2 \ln \frac{\Delta\Sigma}{\Delta\Sigma} - (\gamma-1)^2 + 3 + \frac{1}{2}(3) \right\}, \quad \gamma = \frac{\beta}{m}, \quad (19)$$

Детали интегрирования приведены в приложении (VII).

Прибавляя к этому результат интегрирования (10) по углам вылета фотонов (см. приложение VIII)

$$\sigma^{(2)} = \frac{2\pi\alpha^2}{3} (\gamma-1) + \frac{2\alpha^3}{3} \left\{ 2(\gamma-1)^2 \ln \frac{\Delta\Sigma}{\Delta\Sigma} + \frac{1}{3}\gamma^3 + \frac{3}{2}(\gamma-1)^2 - \frac{3}{2}\gamma^2 + \frac{\pi^2}{3}(\gamma-1) + 4\frac{1}{2}(3) - 1 \right\} \quad (20)$$

получим для полного сечения аннигиляции e^+e^- в фотоны с точностью до членов $\sim \alpha^3$

$$\sigma = \sigma^{(2)} + \sigma^{(3)} = \frac{2\pi\alpha^2}{3} (\gamma-1) + \frac{2\alpha^3}{3} \left\{ \frac{1}{3}\gamma^3 - \gamma^2 + \gamma \left(\frac{\pi^2}{3} - 1 \right) + 5\frac{1}{2}(3) - \frac{\pi^2}{3} + \frac{7}{2} \right\} \quad (21)$$

Инклюзивное сечение по энергии и углу вылета одного из фотонов имеет вид

$$\gamma^2 \ln^2 \theta \frac{d^2\sigma}{d\nu d\cos\theta} = \frac{2\alpha^3}{33} \left\{ f_1 \delta + f_2 \ln \left(\frac{\gamma^2 \ln^2 \theta}{4(1-\nu)} \right) + f_3 \ln \left(\frac{(1 - \gamma^2 \ln^2 \theta)^2}{1-\nu} \right) + f_4 + \theta \rightarrow \pi - \theta \right\}$$

$$\text{где } f_1 = \frac{\gamma^2 (1 + \alpha^2 \theta)}{2(1 - \gamma + \frac{\pi^2}{4} \ln^2 \theta)} + \frac{1 + (1 - \nu)^2 - \frac{\pi^2}{2} \ln^2 \theta}{1 - \nu} - \frac{1 - \nu + \frac{\pi^2}{2} \ln^2 \theta}{(1 - \nu \ln^2 \theta)^2} + \frac{\gamma^4 \ln^2 \theta (1 + \alpha^2 \theta)}{8(1 - \nu)(1 - \nu + \frac{\pi^2}{4} \ln^2 \theta)}, \\ f_2 = \frac{\gamma^2 (1 + \alpha^2 \theta)}{2(1 - \nu + \frac{\pi^2}{4} \ln^2 \theta)}, \quad f_3 = \frac{-(1 - \nu + \frac{\pi^2}{2} \ln^2 \theta)}{(1 - \nu \ln^2 \theta)^2}, \quad f_4 = -\frac{(1 - \nu - \frac{\pi^2}{4} \ln^2 \theta)}{(1 - \nu \ln^2 \theta)^2} - \frac{\pi^2 \ln^2 \theta [(1 - \nu \ln^2 \theta)(\nu \ln^2 \theta)^{-1} + (\nu \ln^2 \theta)(1 - \nu \ln^2 \theta)^{-1}]}{(2(1 - \nu))^2} \quad (22)$$

Приведем выражение для сечения аннигиляции e^+e^- в два фотона, учитывающее углы расколлинеарности между фотонами, не превышающие некоторого $\Delta\theta \ll 1$ (см. приложение IX)

$$\frac{d\Gamma}{d\Omega} = \frac{d\sigma_0}{d\Omega} (1 + \delta), \quad \frac{d\sigma_0}{d\Omega} = \frac{\alpha^2}{3} \cdot \frac{1 + \cos^2 \theta}{\sin^2 \theta},$$

$$\delta = \frac{2\zeta}{\pi} \left\{ (g-1) \left(l_0 \cdot \frac{\zeta^2}{\ln \zeta} + \frac{1}{\zeta} \right) + \frac{1}{\zeta} - \left(l_0 \cdot \frac{\zeta^2}{\ln \zeta} \right)^2 + \frac{1}{\zeta^2} \right\} -$$

$$- \frac{1}{\zeta} \left\{ \frac{d\zeta}{x} \ln(1-x) \right\} + \frac{\zeta}{\pi} \frac{\ln^2 \zeta}{2(1-\zeta^2)} \left\{ \left(-1 + \frac{1}{\ln \zeta} \right) l_0 \cdot \frac{\zeta^2}{\ln \zeta} + \left(-1 + \frac{1}{\ln \zeta} \right) \right\} +$$

$$+ l_0 \ln \frac{\zeta}{2} + \left(-2 + \frac{1}{\ln \zeta} + \frac{2}{1-\zeta^2} \right) \left(l_0 \cdot \frac{\zeta^2}{\ln \zeta} \right)^2 + \left(-2 + \frac{1}{\ln \zeta} + \frac{2}{1-\zeta^2} \right) \quad (23)$$

На рис. 4 мы приводим зависимость поправки δ от L при $2\varepsilon = 3\Gamma/6$ и угла $\theta = 90^\circ$.

Инклюзивное по углу вылета фотона сочтение $e^{i\phi} \cdot e^{-i\theta}$, учитывающее поправки за счет излучения виртуальных и реальных фотонов с точностью до членов $\sim \alpha^3$, для случая $\zeta \ll 1$, где ζ_ε есть порог регистрации фотонов имеет вид:

$$\frac{d\sigma}{d\Omega} = \frac{\pi \alpha^2}{3} \left(\frac{1+\zeta^2}{1-\zeta^2} \right) + \frac{\alpha^3}{3} \left\{ - \left(\frac{1+\zeta^2}{1-\zeta^2} \right) \left[-\frac{\pi^2}{3} + \frac{2}{2} (1-\zeta) \right] + \left(1 + \frac{3(1+\zeta)}{2(1-\zeta)} \right) l_0 \cdot \frac{1-\zeta}{2} + \right.$$

$$+ \left(1 + \frac{1-\zeta}{1+\zeta} + \frac{1+\zeta}{2(1-\zeta)} \right) \left(l_0 \cdot \frac{1-\zeta}{2} \right)^2 + 2 \left(\frac{1+\zeta^2}{1-\zeta^2} \right) (1-\zeta) l_0 \cdot \frac{1-\zeta}{2} + \frac{2(1-\zeta)}{1-\zeta^2} l_0 \cdot \frac{1-\zeta}{2} - 2 - \frac{2(4\pi^2)}{1-\zeta^2} -$$

$$- \frac{2}{1-\zeta^2} l_0 \cdot \frac{1-\zeta}{2} + \frac{2(2-\zeta)(1+\zeta^2)}{\zeta(1-\zeta)^2} l_0 \cdot \frac{1-\zeta}{2} l_0 \cdot \frac{1+\zeta}{2} + \frac{2-\zeta^3}{\zeta(1-\zeta)} \left(l_0 \cdot \frac{1+\zeta}{2} \right)^2 + \frac{2(4-\zeta+\zeta^2)}{\zeta(1-\zeta)(1-\zeta^2)} \zeta l_0 \cdot \frac{1+\zeta}{2} -$$

$$\left. - \frac{\pi^2}{3(1-\zeta^2)} - \frac{2\zeta^2}{1-\zeta^2} \int_0^{\zeta} \frac{dx}{x} \ln(1-x) \right\} + (\zeta \rightarrow -\zeta). \quad (24)$$

Точное выражение для любого ζ приведено в приложении X.

Авторы благодарны В.Н. Байеру, Г.У. Мартину, А.П. Онучину и В.С. Фадину за интерес к работе и обсуждения.

Литература

1. I. Iannini and L.M. Brown Phys. Rev. 105 (1957), 1656;
L.I. Brown and R.P. Feynman Phys. Rev. 85 (1952), 231.
2. F. Mandl and T.H.R. Skyrme, Proc. Roy. Soc. A 215 (1952), 497.
3. F.H. Busch, R. Gastmans Nucl. Phys. B 61 (1973), 414.
4. Б.В. Гешкенбейн, М.В. Терентьев ЯФ № 8 № 3 стр. 550 (1968)
(J. Phys. Nucl. Phys. 8 (1969) 321)
5. Y.-L. Tsai Phys. Rev. 137B (1965), 730;
6. Andreassi et al.
7. J. Haintze препринт DESY 75/34; B.H. Wijk препринт
DESY 75/37.
8. Релятивистская квантовая теория II, §III6 формула 7а.
9. Э.А. Кураев, Г.В. Меледин, препринт ИЯФ № 91-76.
10. А.И. Ахиезер, В.Б. Берестецкий Квантовая электродинамика 1969, §54.
- II. Е.Лишиц, Г.Питаевский Релятивистская квантовая теория II §III6.
12. Г.Б. Двайт Таблицы интегралов.
13. С.Я. Гузенко, препринт ХФТИ 74-31.

Приложение I

Приведем таблицу интегралов, встречающихся при вычислении амплитуд, соответствующих диаграммам рис.2. Вычисления проводятся в пренебрежении членами $\sim m^2/3$. Обозначения [I]:

$$(1) = (P_+ - \lambda)^2 - 1, (2) = (P_+ + \lambda)^2 - 1, (K) = (P_3 - K)^2 - 1, (0) = K^2 - \lambda^2. \quad (I.1)$$

Здесь λ - "масса" фотона. Закон сохранения, инварианты, вектора:

$$P_+ + P_- = q_1 + q_2, \quad K = 2P_+ q_1, \quad P_+^2 = P_-^2 = 1, \quad q_1^2 = q_2^2 = 0. \quad (I.2)$$

$$Q = \frac{1}{2}(P_+ + P_-), \quad P_0 = \frac{1}{2}(P_+ - P_-), \quad q_0 = \frac{1}{2}(q_2 - q_1), \quad P_3 = P_- - q_1, \quad P_4 = P_+ - q_2.$$

$$\text{Обозначения для интегралов } d_4 K \equiv (2i/\pi^2) d^4 K$$

$$A = \int d_4 K / (1)(2), \quad B^1 = \int d_4 K / (1)(K), \quad C^2 = \int d_4 K / (K)(0), \quad D = \int d_4 K / (0)(K),$$

$$F = \int d_4 K / (K)(2)(K), \quad G^1 = \int d_4 K / (1)(K)(0), \quad H = \int d_4 K / (K)(2)(0), \quad J = \int d_4 K / (0)(2)(0). \quad (I.3)$$

Величины B^2, C^2, G^2 получаются из B^1, C^1, G^1 заменой (1) \rightarrow (2); Интегралы, получающиеся из приведенных добавляем в чисителях $K_3, K_3 K_0, K_3 K_0 K_0$ обозначим буквами в левых частях I.3 с приписыванием индексов $\rho, \rho\sigma, \rho\sigma\tilde{\sigma}$.

Например

$$G_{\rho\sigma}^2 = \int d_4 K K_3 K_0 / (2)(K)(0) = \frac{2i}{\pi^2} \int d^4 K K_3 K_0 / (2)(K)(0).$$

Стандартное вычисление [I] приводит к результату, справедливому в пределе $m^2/3 \rightarrow 0$ (I):

$$\begin{aligned} A &= -2(\lambda^2 - \rho + 1), \quad A_\rho = -2P_{0\rho}(\lambda^2 - \rho + \frac{1}{2}), \quad C^1 = C^2 = -2(\lambda^2 + 1) \\ C_\rho^1 &= -P_{-\rho}(\lambda^2 - \frac{1}{2}), \quad D = -2(\lambda^2 - C + 1), \quad B^1 = B^2 = -2(\lambda^2 - 1), \quad B_\rho^1 = \\ &= -(P_- + P_3)_\rho(\lambda^2 - \frac{3}{2}), \quad D_\rho = -P_{3\rho}(\lambda^2 - C + \frac{1}{2}), \quad F = \frac{1}{3}(\lambda^2 - \rho^2), \quad F_\rho = F_{\rho\rho} + \\ &+ q_{0\rho}(F + \frac{1}{3}(4\rho - 8)), \quad H = \frac{1}{3}(-\rho^2 + \frac{4}{3}\lambda^2 + 2\rho\lambda^2), \quad H_\rho = -\frac{4}{3}\rho P_{0\rho}, \quad G^1 = G^2 = \\ &= \frac{2}{K}(\frac{\lambda^2}{3} + \frac{C^2}{2}), \quad G_\rho^1 = -q_{1\rho} \frac{(2C - 4)}{K} + P_{-\rho}(C - \frac{2C}{K}), \quad Y = \frac{2}{K^3}(3\lambda^2 \frac{K^2}{\lambda^2} - \frac{\lambda^2}{2}), \\ Y_\rho &= \frac{P_{0\rho}}{2K^2}[-3F + (3 - 2K)\rho + 2K\lambda^2] + \frac{q_{0\rho}}{2K^2}[-F(3 - 2K) + 3\rho - 2K\lambda^2], \quad \tilde{\tau} = H + KJ, \end{aligned} \quad (I.4)$$

Приложение II

$$\begin{aligned} J_{\rho\sigma} &= \frac{1}{3}(G_\rho^1 - G_\rho^2)Q_\rho + \frac{1}{\rho} (G_1^3 + G_2^3 - F_\rho - \tilde{\tau}_\rho)P_{0\rho} + \frac{L}{2K^2}[-(3 - 2K)F_\rho - \\ &- K(G_1^3 + G_2^3) + 3\tilde{\tau}_\rho]P_{3\rho} + \Sigma S_{\rho\sigma}, \quad \Sigma = \frac{1}{4\tilde{\tau}}[3(F + \tilde{\tau}) - 2K\lambda^2], \\ S_{\rho\sigma} &= \delta_{\rho\sigma} + \frac{3}{K^2}(P_{0\rho}P_{0\sigma} + q_{0\rho}q_{0\sigma}) + (\frac{1}{K} - \frac{1}{\tilde{\tau}})(P_{0\rho}q_{0\sigma} + P_{0\sigma}q_{0\rho}), \\ F_{\rho\sigma} &= F P_{3\rho}P_{3\sigma} + \frac{1}{3}(4\rho - 8)(P_{0\rho}q_{0\sigma} + P_{0\sigma}q_{0\rho}) - \frac{1}{3}(2\rho - 6)Q_\rho Q_\sigma + \frac{1}{3}(6\rho - 14)P_{0\rho}P_{0\sigma} - \\ &- \frac{1}{2}(\lambda^2 - \rho + \frac{3}{2})\delta_{\rho\sigma}, \quad H_{\rho\sigma} = -\frac{2}{3}\rho P_{0\rho}P_{0\sigma} - \frac{1}{3}(2\rho - 4)Q_\rho Q_\sigma - \frac{1}{2}(\lambda^2 - \rho + \frac{3}{2})\delta_{\rho\sigma}, \\ G_{\rho\sigma}^1 &= \frac{1}{K}(K\lambda^2 - 3C + 1)P_{-\rho}P_{-\sigma} + \frac{1}{K}(5 - 2C)(P_{-\rho}q_{1\sigma} + P_{-\sigma}q_{1\rho}) + \frac{1}{K}(C - 2)q_{1\rho}q_{1\sigma} + \\ &+ \frac{1}{2}(-\lambda^2 + C - \frac{3}{2})\delta_{\rho\sigma}, \\ J_{\rho\sigma\tilde{\sigma}} &= \frac{1}{3}(G_{\rho\tilde{\sigma}}^1 - G_{\rho\tilde{\sigma}}^2)Q_\rho + \frac{1}{\tilde{\tau}}P_{0\rho}(G_{\rho\tilde{\sigma}}^1 + G_{\rho\tilde{\sigma}}^2 - F_{\rho\tilde{\sigma}} - 2\rho\tilde{\sigma}) + \frac{1}{2K^2}P_{3\rho}K \\ &\times (3\tilde{\tau}_{\rho\tilde{\sigma}} + (K - \tilde{\tau})F_{\rho\tilde{\sigma}} - K(G_{\rho\tilde{\sigma}}^1 - K G_{\rho\tilde{\sigma}}^2)) + \Sigma_\sigma S_{\rho\tilde{\sigma}} + \Sigma_{\tilde{\sigma}} S_{\rho\sigma} \equiv \\ &\equiv \lambda_{\rho\tilde{\sigma}}Q_\rho + \beta_{\rho\tilde{\sigma}}P_{0\rho} + \delta_{\rho\tilde{\sigma}}P_{3\rho} + \Sigma_\sigma S_{\rho\tilde{\sigma}} + \Sigma_{\tilde{\sigma}} S_{\rho\sigma}, \end{aligned}$$

$$\Sigma_{\tilde{\sigma}} = F_{\tilde{\sigma}} - \lambda_{\rho\tilde{\sigma}}Q_\rho - \beta_{\rho\tilde{\sigma}}P_{0\rho} - \delta_{\rho\tilde{\sigma}}P_{3\rho}.$$

$$\text{Здесь } g = \lambda\delta, \quad c = \lambda K, \quad m^2 = 1$$

Отметим свойства тензора $S_{\rho\sigma}$:

$$S_{\rho\sigma} = S_{\sigma\rho}, \quad S_{\alpha\alpha} = 1, \quad S_{\rho\sigma}P_{3\rho} = S_{\rho\sigma}P_{0\sigma} = S_{\rho\sigma}q_{0\sigma} = 0.$$

В работе Браун, Фейнмана [I] в слагаемом $\sim P_{3\rho}Z_{\rho\tilde{\sigma}}$ в $J_{\rho\sigma\tilde{\sigma}}$ напечатан неверный знак.

Приложение II

Для вершинной функции, входящей в фейнмановские графики рис.2б, в, пользуясь интегралами приложения I, получим выражение

$$\begin{aligned} \frac{g_i}{4\pi^2} \int \frac{d^4 k \gamma_\mu (p_3 - k + m) e(p - k + m) \gamma_\nu}{(o)(k)} &= \gamma_\nu (p_3 + m) e(p - k + m) \gamma_\mu - \\ - G_{\mu\nu}^I [\gamma_\mu \gamma_\nu e(p - k + m) \gamma_\rho + \gamma_\mu (p_3 + m) e \gamma_\nu \gamma_\rho] + G_{\mu\nu}^I \gamma_\mu \gamma_\nu e \gamma_\rho \gamma_\sigma &= \\ = - \frac{2c}{k} (\hat{p}_- \hat{q} - \hat{q} \hat{p}_-) \hat{e} - \hat{e} (2h \lambda^2 + 1) - \frac{4}{k} \hat{q} (e p_-) & \end{aligned} \quad (II.1)$$

Заметим, что выражение, приведенное в приложении II в работе [1] неверно.

Приложение III

Вычисление с помощью интегралов приложения I вклада диаграммы рис.2 дает

$$\begin{aligned} \frac{g_i}{4\pi^2} \int \frac{d^4 k \gamma_\mu (p_3 - k + m) \gamma_\nu}{(o)(k)} &= (4m - 2\hat{p}_3)(-2h \lambda^2 + 2c - 2) + 2\hat{p}_3 (-h \lambda^2 + \\ + \frac{1}{2} + c) &= A(\hat{p}_3 - m) + B \end{aligned} \quad (III.1)$$

Регуляризуя III.1, (вычитая это выражение при $\hat{p}_3 = m$), а также учитывая перенормировку волновых функций внешних электрона и позитрона (что сводится к добавлению $-k^- \hat{e}_2 \hat{p}_3 \hat{e}_1 \times$
 $\times (2h \lambda^2/m^2 + 9 + 4h \lambda^2/m^2)$, [4]), получим для суммы вкладов трех диаграмм рис.2б, в, г:

$$\begin{aligned} 2ck^{-2} [\hat{e}_2 (\hat{q}_2 \hat{p}_+ - \hat{p}_+ \hat{q}_2) \hat{p}_3 \hat{e}_1 + \hat{e}_2 \hat{p}_3 (\hat{p}_- \hat{q}_- - \hat{q}_- \hat{p}_-)] + 4k^{-2} [\hat{q}_2 \hat{p}_3 \hat{e}_1 (e_2 p_+) + \\ + \hat{e}_2 \hat{p}_3 q_1 (e_1 p_-)] + k^{-2} (2c - 4h \lambda^2/m^2 - 10) \hat{e}_2 \hat{p}_3 \hat{e}_1. \end{aligned} \quad (III.2)$$

Приложение IV

Нам необходимо вычислить интерференцию борновской амплитуды с амплитудами рис.2: $\mathcal{P}(k, \tau) = \frac{1}{32} \delta p(-\hat{p}_+) R' \hat{p}_- (\bar{R} + \bar{S})$

, где $\bar{R} + \bar{S} = -\frac{1}{k} \hat{e}_1 \hat{p}_3 \hat{e}_2 - \frac{1}{c} \hat{e}_2 \hat{p}_3 \hat{e}_1$,
а в интегралах, соответствующих $R^{(I)}$ подразумеваем включенным множителем $\lambda \gamma_{\mu \nu}^2$. При этом оказываются полезными следующие тензорные структуры (по спинам фотонов суммируем):

$$\begin{aligned} -p_+ p_2 p_3 p_1 (\bar{R} - \bar{S}) &= 2\bar{c}; \quad p_+ p_- \gamma_5 \ell_2 p_3 \ell_1 p_- (\bar{R} + \bar{S}) = 2(3p_3^\alpha + kp_+^\alpha + kp_-^\alpha) - 4kp_-^\alpha; \\ -p_+ \ell_2 \gamma_5 \ell_1 p_- (\bar{R} + \bar{S}) &= 2(p_- - p_+)^\alpha - \frac{2\bar{c}}{k} p_3^\alpha - \frac{4\bar{c}}{k} p_4^\alpha; \quad -p_+ \ell_2 p_3 \ell_1 \gamma_5 p_+ p_- (\bar{R} + \bar{S}) = \\ = 2(3p_3 - kp_+ - kp_-)^\alpha + 4kp_+^\alpha; \quad -p_+ p_- \gamma_5 \ell_2 \gamma_5 \ell_1 p_- (\bar{R} + \bar{S}) &= -2\delta_{\mu\nu} + 4p_-^\alpha p_+^\alpha - 4p_+^\alpha p_-^\alpha + \\ + 4f_-^\alpha (p_+ + p_-)^\alpha - \frac{4\bar{c}}{k} p_-^\alpha p_3^\alpha - \frac{8\bar{c}}{c} p_-^\alpha p_4^\alpha; \quad p_+ \gamma_5 \ell_1 p_3 \ell_2 \gamma_5 p_- (\bar{R} + \bar{S}) &= -2k \delta_{\mu\nu} + \\ + 4(p_+^\alpha p_5^\alpha - p_3^\alpha p_+^\alpha) + 4p_3^\alpha (p_+ - p_-)^\alpha + \frac{4\bar{c}}{k} p_3^\alpha p_3^\alpha + 2\delta_{\mu\nu} - 4(p_+^\alpha p_+^\alpha + p_-^\alpha p_+^\alpha) + \\ + 8p_-^\alpha p_+^\alpha; \quad p_+ \ell_2 \gamma_5 \ell_1 \gamma_5 p_+ p_- (\bar{R} + \bar{S}) &= -\frac{4\bar{c}}{k} (p_+^\alpha p_3^\alpha - p_3^\alpha p_+^\alpha) - 2\delta_{\mu\nu} + \frac{4\bar{c}}{k} p_+^\alpha p_3^\alpha + \\ + 4p_+^\alpha (p_- + p_+)^\alpha + \frac{8\bar{c}}{c} p_4^\alpha p_+^\alpha; \quad -p_+ \gamma_5 \ell_1 \gamma_5 \ell_2 \gamma_5 p_- (\bar{R} + \bar{S}) &= \frac{16}{c} p_-^\alpha p_4^\alpha p_+^\alpha + \\ + \frac{8}{k} p_3^\alpha (p_+^\alpha p_-^\alpha + p_+^\alpha p_-^\alpha) - \frac{4\bar{c}}{k} \delta_{\mu\nu} p_3^\alpha - \frac{4}{k} \cdot \frac{1}{4} \delta p p_+ \gamma_5 \gamma_5 p_3 p_- \gamma_5 & \end{aligned}$$

(IV.1)

Здесь в первых частях равенств подразумевается $\frac{1}{4} \delta p$. Вклад членов, содержащих γ_5 будет ($q_0^2 = p_0^2 = -3/4$, $q_0 p_0 = (c - k)/4$):

$$(2ck) [p_0(-4k - 23/c) + q_0(2 + 2\bar{c}/c - 3/k)] [p_0(-3F - (c - k)^2/2 + 2kG) + \\ + q_0(-(c - 4F + 3\bar{c} - 2kG))] \quad (IV.2)$$

$$\text{Вклад членов, содержащих } \gamma_5 \text{ будет: } \gamma_5 \gamma_5 = a_1 Q^{\alpha\beta} + a_2 \ell_0^\alpha \ell_0^\beta + a_3 \ell_0^\alpha Q^{\beta\alpha} + a_4 (Q^{\alpha\beta} + Q^{\beta\alpha}) + \varepsilon S_{\mu\nu} \quad (IV.3)$$

$$-2(3+k)F + 3^2 \alpha_1 - 3\bar{c}^2 \alpha_2 + (k^2 + 2k\bar{c} - \bar{c}^2) \alpha_3 + (-2k^2 + 4k\bar{c} + 4\bar{c}^2) \alpha_4 \quad (IV.4)$$

Вклад членов, содержащих $\gamma_{g\sigma\tilde{r}} = Q^3 [n_1(p_0, q)^{\alpha\tilde{r}} + n_2(q_0 q)^{\alpha\tilde{r}}] +$
 $+ P_0^3 [m_1 p_0 p_0 + m_2 Q Q + m_3 q_0 q_0 + m_4 (p_0, q_0) + m_5 S]^{\alpha\tilde{r}} + P_3^3 [g_1 p_0 p_0 +$
 $+ g_2 Q Q + g_3 q_0 q_0 + g_4 (p_0, q_0) + g_5 S]^{\alpha\tilde{r}} + \varepsilon_{\alpha} S_{g\tilde{r}} + \varepsilon_{\alpha} S_{g\sigma}$
 будет
 $- \frac{3}{4} g^2 n_1 + \frac{1}{4} g^2 n_2 + \frac{3}{4} g^2 m_1 + \frac{1}{4} (t^2 - 4k\tilde{r} + c^2) m_3 + \frac{1}{2} g(k-2c)m_4 + 3m_5 + \frac{3}{2} g k g_1 -$
 $3 \text{где } - \frac{1}{2} k(k+3c)g_3 + k(k-2c)g_4 + 2g_5 + 3h_1 + (c-k)h_2 \quad (IV.4)$

$(\alpha, \beta)^{\alpha\tilde{r}} = g^3 h^3 + a^3 b^3, \quad F^3 = h_1 P_0^3 + h_2 q_0^3.$

В результате имеем

$4\Gamma(k, t) = (t/k) [4(g-1)h_1 \lambda^2 - 8cg + 2\pi^2 + 2c - 10] + (\pi^2 - g^2)(-2 - 2k - 2h/c) +$
 $(\frac{\lambda^2}{3} + \frac{4}{3}cg - g^2)(-2 + 2k - 2h/c) + 4(\frac{\lambda^2}{3} + \frac{c^2}{2})(2 + 2k + 2h/c) + c(4 + \frac{4c}{k}) -$
 $- 4g + 4c^2/k, \quad c = h_1 k, \quad d = h_2 \tilde{r}, \quad g = h_3, \quad m = 1 \quad (IV.5)$

Приложение У

Излучение мягкого в с.ц.и. фотона (частоты ω , не превышающей $\Delta \varepsilon \ll \varepsilon$) рассчитывается стандартным образом [I, 3].

В результате

$\frac{d\sigma^{soft}}{d\Omega_1} = \frac{\omega^2}{2\pi} U \frac{d}{\pi} \left[2(g-1) \ln\left(\frac{2\Delta\varepsilon}{\lambda}\right) + g - \frac{1}{2} g^2 - \frac{\lambda^2}{3} \right] \quad (U.1)$

Приложение УІ

Интегрирование по \tilde{z}_3 проводится с помощью замены

$t = \frac{\tilde{z}_+ - \tilde{z}_3}{\tilde{z}_3 - \tilde{z}_-}, \quad d\tilde{z}_3 = \frac{-2t(\tilde{z}_+ - \tilde{z}_-) dt}{(1+t^2)^2}, \quad \tilde{z}_+ - \tilde{z}_3 = \frac{t^2(\tilde{z}_+ - \tilde{z}_-)}{1+t^2}, \quad \tilde{z}_3 - \tilde{z}_- = \frac{\tilde{z}_+ - \tilde{z}_-}{1+t^2}$

а также $\int d\tilde{x} [\alpha + \beta \tilde{x}^2]^{-1} = \pi / (2(\alpha\beta)\tilde{z}_2)$. При этом получим $\int d\tilde{x} \int_{\tilde{z}_-}^{\tilde{z}_+}$

$\int d\tilde{z} \tilde{D}^{-\tilde{k}_2} = \pi, \quad \int d\tilde{z} \tilde{D}^{-\tilde{k}_2} (1 \pm \beta \tilde{z})^{-1} = \pi / (1 \pm \beta \tilde{z}_2)^{\tilde{k}_2} (1 \pm \beta \tilde{z}_-)^{\tilde{k}_2}$

$\int d\tilde{z} \tilde{z} \tilde{D}^{-\tilde{k}_2} = \pi \alpha, \quad \int d\tilde{z} (1 \pm \beta \tilde{z})^{-2} \tilde{D}^{-\tilde{k}_2} = \frac{1}{2} \pi (1 - \alpha^2) \left[(1 \pm \beta \tilde{z}_2) (1 \pm \beta \tilde{z}_-) \right]^{-\frac{1}{2}} \quad (U.1)$

Здесь $\tilde{D} = (\tilde{z}_- - \tilde{z}_-)(\tilde{z}_+ - \tilde{z}_+)$, $\tilde{z}_{\pm} = \tilde{z}_2 \alpha \pm \sqrt{(1 - \alpha^2)(1 - \tilde{z}_{\pm}^2)}$. Полезно соотношение

$(1 \pm \beta \tilde{z}_+)(1 \pm \beta \tilde{z}_-) = (\alpha \pm \beta \tilde{z}_2)^2 + (1 - \beta^2)(1 - \alpha^2), \quad \alpha = 1 - \frac{2(1 - \tilde{z}_2)}{u_1 u_2} \quad (U.2)$

При интегрировании по \tilde{z}_2 пользуемся ([12], 380.001, III, III)

$\int dx X^{-\frac{1}{2}} = \frac{1}{\sqrt{a}} \ln |2\sqrt{ax} + 2ax + b|, \quad \int dx x^{-1} X^{-\frac{1}{2}} = -\frac{1}{\sqrt{c}} \ln \left| \frac{2\sqrt{cx} + 2c + bx}{x} \right|,$

$\int x dx / x^{\alpha} = \frac{X^{\frac{1}{2}}}{\alpha} - \frac{b}{2\alpha} (1 + X^{-\frac{1}{2}}), \quad X = ax^2 + bx + c, \quad a, c > 0 \quad (U.3)$

Приложение УІІ

Полное сечение $e^+e^- \rightarrow 3\gamma$ получается интегрированием $d^2\sigma/dv_1 dv_2$ по области (Далиц - плот) $\Delta \leq v_i \leq 1, \sum v_i = 2$. Волици границ $x_i = 1 - v_i \ll 1$ выражение для $d^2\sigma/dv_1 dv_2$ должно быть изменено:

$\frac{-1}{(1-x_3)^2} \frac{x_1}{x_2} \rightarrow \frac{-1}{(1-x_3)^2} \cdot \frac{3x_3}{1 + 8x_2 \frac{x_3}{1-x_3}}, \quad x_2 \ll 1;$

$\frac{(1-x_1)(1-x_2)}{x_1 x_2} \ln \frac{3x_1 x_2}{m^2(1-x_1)(1-x_2)} \rightarrow \frac{3}{2\sqrt{t^2+t}} \ln(\sqrt{t+x_1} + \sqrt{t}), \quad t = \frac{x_1 x_2 s}{4(1-x_1)(1-x_2)} \sim 1;$

$\frac{(1-x_1)(1-x_2)}{1-x_1 x_2} \ln \frac{3(1-x_1 x_2)}{m^2(1-x_1)(1-x_2)} \rightarrow \frac{3}{2\sqrt{x^2+x}} \ln(\sqrt{x+1} + \sqrt{x}), \quad x = \frac{3x_3}{4x_1(1-x_1)} \sim 1.$

Область интегрирования

$\int d^2v = \int_0^1 dx_1 \int_{\Delta - x_1}^{1-x_1} dx_2 + \int_{\Delta}^1 dx_2 \int_0^{1-x_2} dx_1$

Приложение УІІІ

Вклад в полное сечение аннигиляции $e^+e^- \rightarrow 2\gamma$ в фотоны от борновской амплитуды и радиационной поправки к ней, учитывая излучение виртуальных и мягких в с.ц.и. реальных фотонов будет

— ввиду (U.1) в приближении низких энергий в $\gamma\gamma$ —
 — т.к. то что включено здесь входит уже в амплитуду

$$\begin{aligned}
 P_{\nu}(z) &= \frac{\pi d^2}{25} \int_1^2 dz \left(\frac{1+z}{1-\rho z} + \frac{1-z}{1+\rho z} \right) \left[1 - \frac{d}{\pi} \left(2(g-1) \ln \frac{z}{\Delta \varepsilon} - \frac{\pi^2}{3} \right) \right] + \\
 &+ \frac{d^3}{25} \int_1^2 dz \left\{ \left(1 + \frac{1-z}{1+\rho z} + \frac{1+z}{2(1-\rho z)} \right) \ln \left(\frac{1-\rho z}{2} \right) - \left(1 + \frac{3(1+z)}{2(1-\rho z)} \right) \ln \left(\frac{1+z}{2} \right) + (z \rightarrow -z) \right\} = \\
 &= \frac{2\pi d^2}{3} (g-1) - \frac{2d^3}{5} (g-1) \left[2(g-1) \ln \frac{z}{\Delta \varepsilon} - \frac{\pi^2}{3} \right] + \frac{2d^3}{5} \left[-\frac{3}{2} + 2\tilde{\gamma}(3) + \frac{1}{6} g^2 + \right. \\
 &\quad \left. + \frac{3}{4} g^2 + \frac{\pi^2}{6} g + \frac{\pi^2}{4} \right], \quad g = \ln \frac{z}{\Delta \varepsilon}, \quad \tilde{\gamma}(3) = \sum_1^\infty \frac{1}{n^3} = 1.202.
 \end{aligned}$$

Приложение IX

Будем считать для определенности, что угол расколлинеарности θ между фотонами I и 2 ($\theta = \hat{q}_1, \hat{q}_2$) не превышает некоторой величины $\Delta\theta$, $\Delta\theta \ll 1$. Энергия и угол вылета третьего фотона должны при этом меняться в области, обеспечивающей $\theta \leq \Delta\theta$. Найдем область изменения энергий фотонов. Заметим прежде, что величины $a_{ik} = 1 - \frac{v_i v_k}{v_i + v_k}$, $i \neq j \neq k \neq i$ имеют смысл косинусов углов между импульсами фотонов i и k в с.ц.и.. Решая уравнение

$$a = 1 - \frac{2(1-v_3)}{v_1(2-v_3-v_1)} = 1 + \frac{1}{2}\theta^2, \quad \theta \leq \Delta\theta$$

относительно v_1 получим следующую область изменения энергий фотонов

$$\begin{aligned}
 \int dv_3 dv_1 &= \frac{\Delta\theta}{\Delta} \int_{1-v_3}^1 dv_3 \int_{1-\frac{v_3}{2} + \frac{v_3}{2}\sqrt{1-\frac{\Delta\theta^2}{4}}}^1 dv_1 + \int_{1-v_3}^1 dv_3 \int_{1-\frac{v_3}{2}}^{1-\frac{v_3}{2}-\frac{v_3}{2}\sqrt{1-\frac{\Delta\theta^2}{4}}} dv_1 + \int_{1-v_3}^1 dv_3 \int_{1-\frac{v_3}{2}}^{1-\frac{v_3}{2}+\frac{v_3}{2}\sqrt{1-\frac{\Delta\theta^2}{4}}} dv_1 \\
 &\Gamma = \sqrt{1 - \frac{\Delta\theta^2}{v_3^2(1-v_3)}}
 \end{aligned} \tag{IX.1}$$

Здесь I-я область $\Delta < v_3 < \Delta\theta$ отвечает изотропному излучению "мягкого" фотона 3. Вторая отвечает излучению фотона 3 произвольной энергии вдоль импульса фотона I, а третья - излучению вдоль фотона 2.

В пределе $\Delta\theta \rightarrow 0$ пределы интегрирования в (IX.1) сближаются. Неисчезающий в этом пределе вклад происходит от интег-

ралов вида

$$\int_a^b \frac{dx}{x \left[(v_0-x)^2 + \frac{m^2}{5} v_3^2 (1-z^2) \right]^{\frac{1}{2}}} = \begin{cases} \ln \frac{b}{a} + \ln \frac{4(v_0-v_3)(b-v_3)}{v_3^2(1-z^2)}, & a < v_0 < b \\ 0, & (b-a) \notin v_0 \end{cases} \tag{IX.2}$$

Здесь $v_0 = \frac{2(1-v_3)}{2-v_3(1-z)}$, $z = z_1 \approx -z_2$ есть косинус угла вылета фотона I к оси пучка.

Анализируя условия поладания v_0 в интервал v_1 - интегрирования для второго слагаемого в (IX.1) получим, что его вклад отличен от нуля для $z < 0$ и $v_3 < \Delta\theta/\sqrt{1-z^2}$. Для третьего слагаемого в IX получим соответственно условие $z > 0$ и $v_3 < \Delta\theta/\sqrt{1-z^2}$.

Приложение X

Без ядра

Вклад в инклюзивное по углу вылета фотона сечение аннигиляции с учетом поправок от излучения виртуальных и мягких в с.п.и. фотонов имеет вид (см. 10)

$$\left(\frac{d\Gamma}{dt}\right)^{\text{soft}} = \frac{2\alpha^2}{3} \frac{1+z^2}{1-z^2} \left\{ 1 - \frac{\alpha}{\pi} \left[2(1-q) \ln \Delta - \frac{1}{3} + \frac{3}{2}(1-q) \right] \right\} + \frac{\alpha^2}{3} \left[\left(1 + \frac{3(1+z)}{2(1-z)} \right) \ln \frac{1+z}{2} + \right.$$

$$+ \left(1 + \frac{1-z}{1+z} + \frac{1+z}{2(1-z)} \right) \ln^2 \frac{1-z}{2} \right] + z \rightarrow -z, z = \cos \theta, \Delta = \frac{\alpha}{z}, q = \frac{\alpha}{2} \gamma^2$$

X.1

Вклад жесткой части спектра фотонов запишем в виде

$$\begin{aligned} \frac{d\Gamma_{\text{hard}}}{dz} &= \frac{2\alpha^3}{3} \int d^2v \left\{ \frac{1}{1-z^2} \left[-\frac{1}{v_2^2} + \frac{(v_1+v_2z)^2 + v_3^2}{v_1^2 v_2^2 X^{v_2}} \right] - \frac{2m^2}{3v_1^2} \left[\frac{v_2(1+z)}{v_1 - v_1 - v_2 z} + \right. \right. \\ &+ \left. \left. \frac{v_3 - v_1 - v_2 z}{v_2(1+z)} \right] \frac{1-z^2}{X^{v_2}} + \frac{v_2^2(1+z^2)}{v_1^2 [v_3^2 - (v_1+v_2z)^2]} \frac{1}{X^{v_2}} \right\} + z \rightarrow -z \end{aligned}$$

X.2

Интегрирование по частотам фотонов по области

$$\int d^2v = \int_{\frac{1-\Delta}{2}}^{\frac{1-\Delta}{2}} dv_2 \int_{1-v_2}^1 dv_1 + \int_{1-v_2}^1 dv_2 \int_{\frac{1-\Delta}{2}}^{\frac{2-v_2-\Delta}{2}} dv_1$$

где $\frac{1-\Delta}{2}$ есть минимальная энергия детектируемого фотона (порог регистрации) приводит к результату

$$\begin{aligned} \frac{d\Gamma_{\text{hard}}}{dz} &= \left(2\alpha^3/3 \right) \left\{ \frac{1+z^2}{1-z^2} (1-p) \ln \frac{\Delta \alpha}{1-z} + \frac{1-q}{1-z^2} \ln \frac{1-z}{2} + (1-z) \left[-1 - \frac{1+z^2}{1-z^2} + \frac{\ln(1-z)-q}{(1-z^2)(1-z)} \right. \right. \\ &+ \frac{\ln \alpha}{1-z^2} \left(\frac{1}{1-z^2} - \frac{2}{1-z^2} \right) + \frac{z(2\alpha-1)\ln(1-z)}{2\alpha(1-z^2)} \ln \frac{1-z}{2} - \frac{(1+z)}{z(1-z^2)} \left[(1+ \right. \right. \\ &+ \left. \left. \ln \frac{6}{1-z}) \ln \frac{1-z}{2} + F(-\frac{\alpha}{8}(1-z)) \right] + \left[\frac{2\ln z}{(1-z^2)(1-z)} - \frac{1+z^2}{\alpha z(1-z^2)} \right] \ln \frac{1-z}{2} + \frac{F(1-F(z))}{1-z^2} \right. \\ &\left. - \frac{1+z}{\alpha z(1-z^2)} (F(\alpha) - F(\alpha z)) + \frac{1+z^2}{1-z^2} (\ln \alpha \ln b - \frac{1}{2} \ln^2 b - F(\alpha)) \right\} + z \rightarrow -z \end{aligned}$$

$$\alpha = \frac{1-z}{2}, b = \frac{1+z}{2}, F(x) = \int \frac{dt}{t} \ln |t|$$

Видим, что при сложении X.3 и X.1 параметр Δ выпадает. При $z \ll 1$ выражение для $d\Gamma/dz$ приведено в тексте (24).

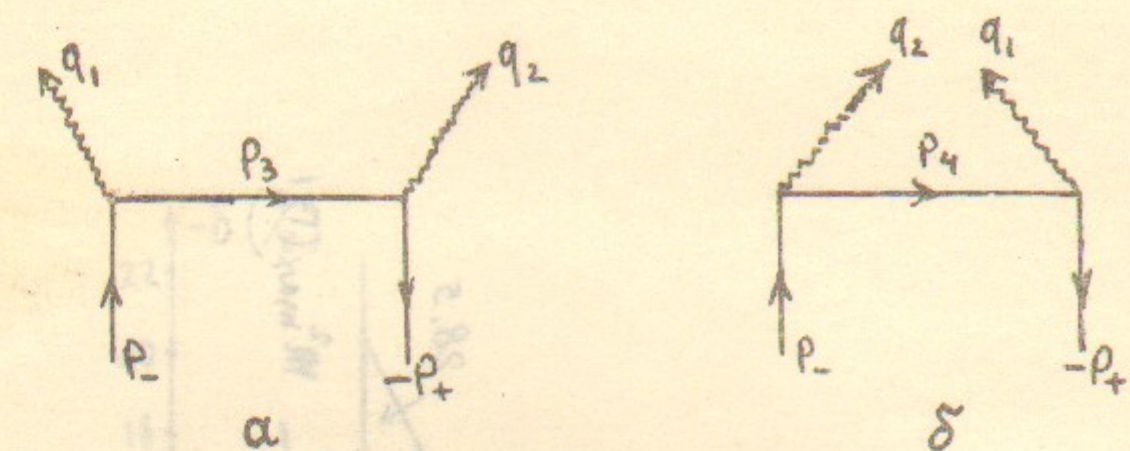


рис 1

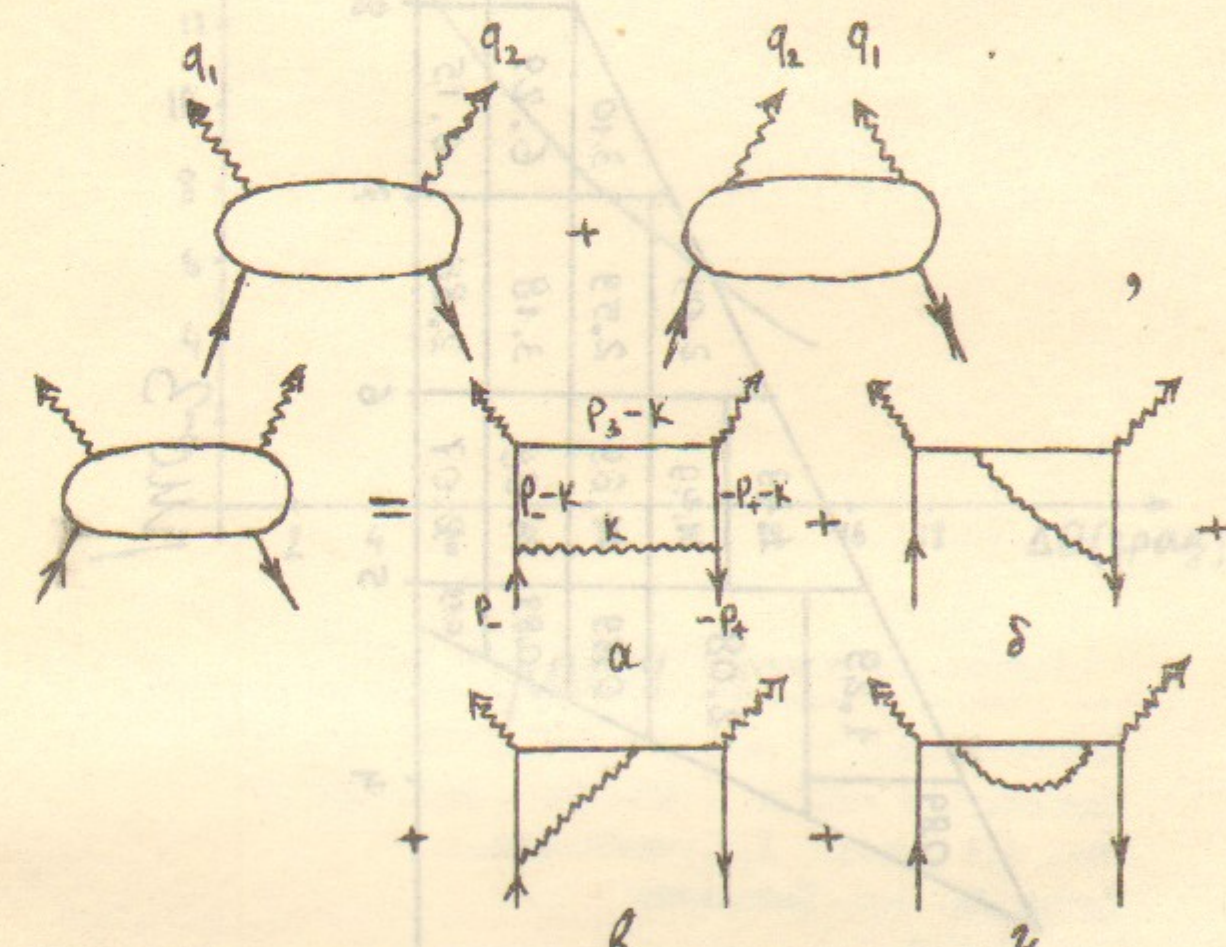
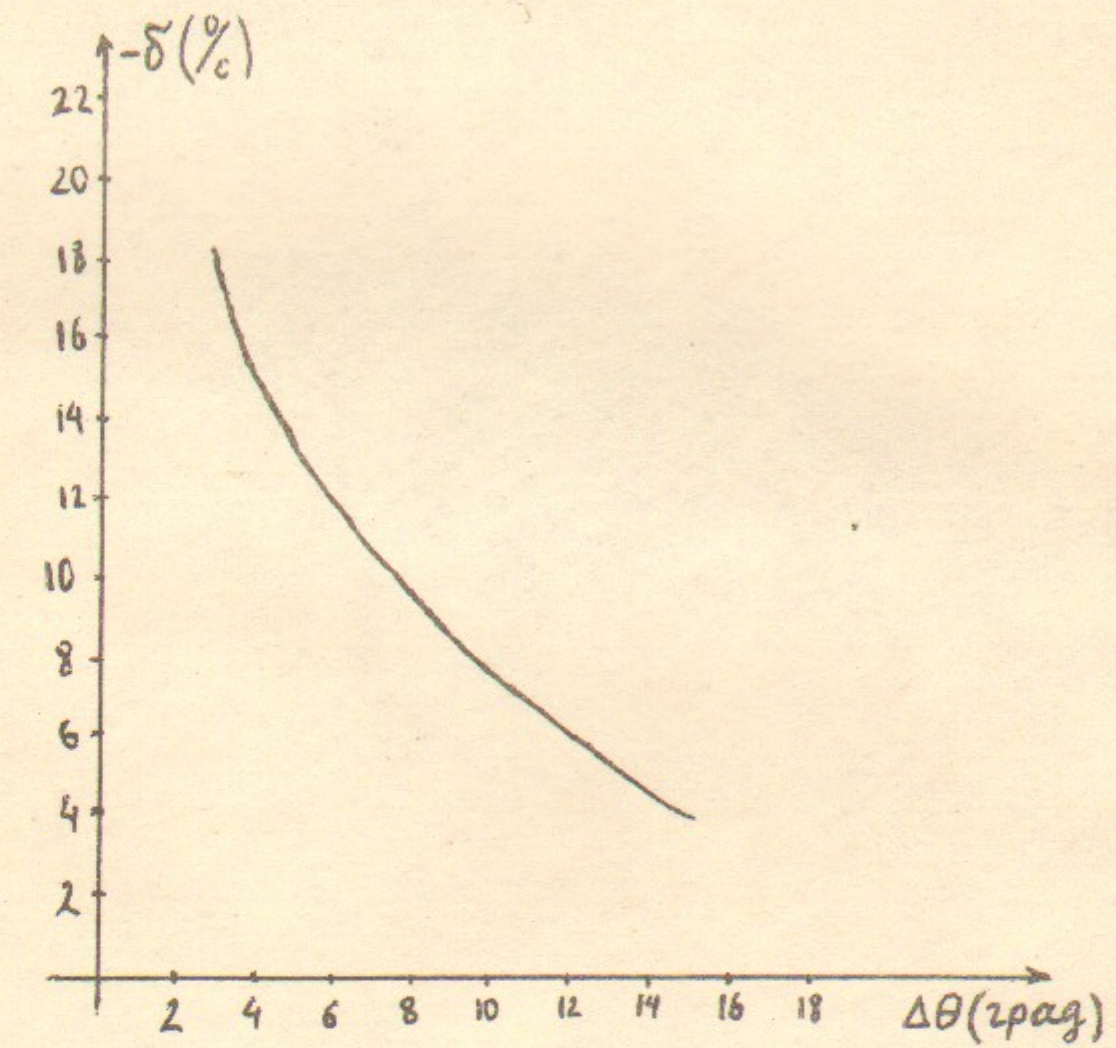
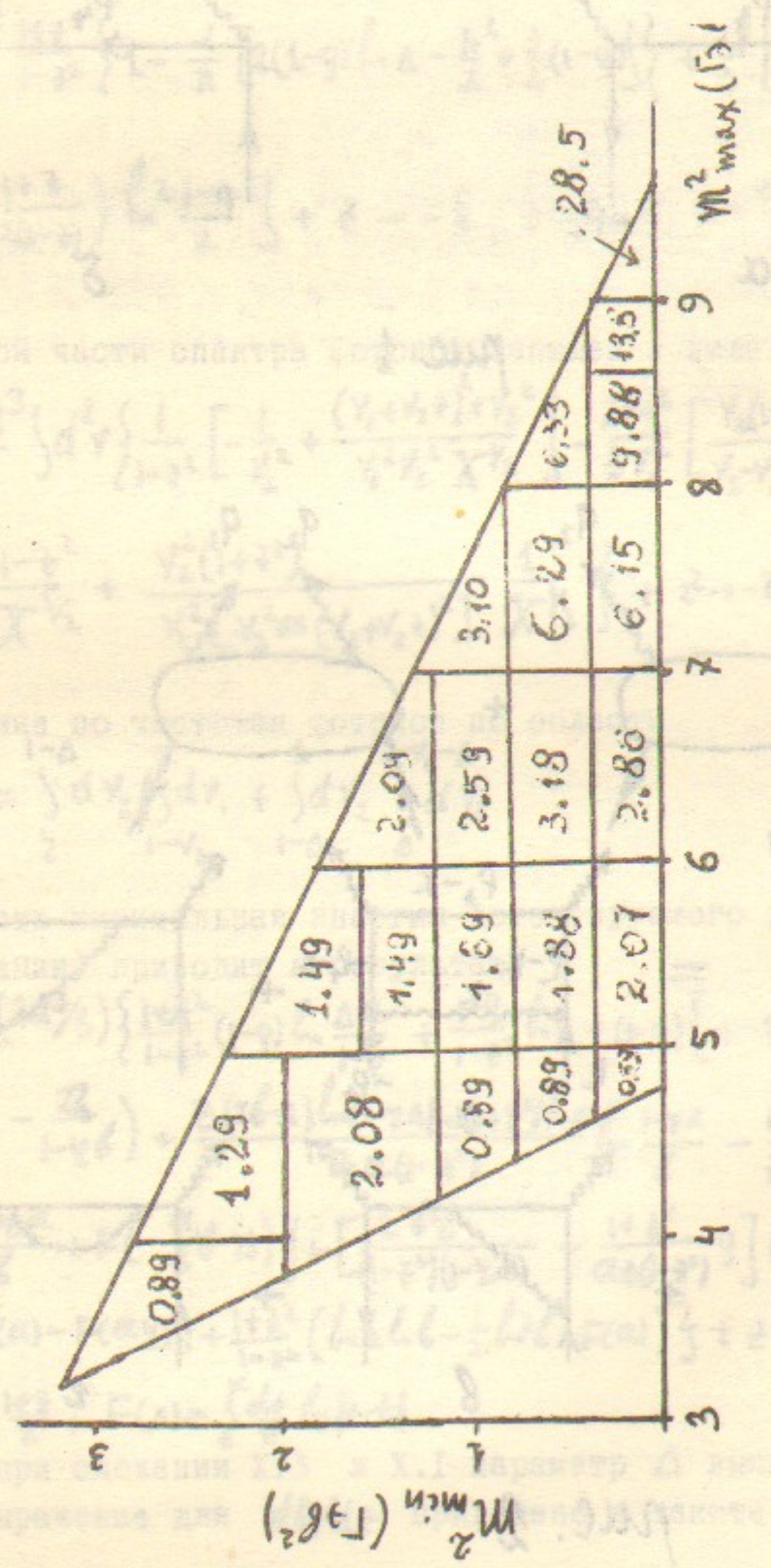
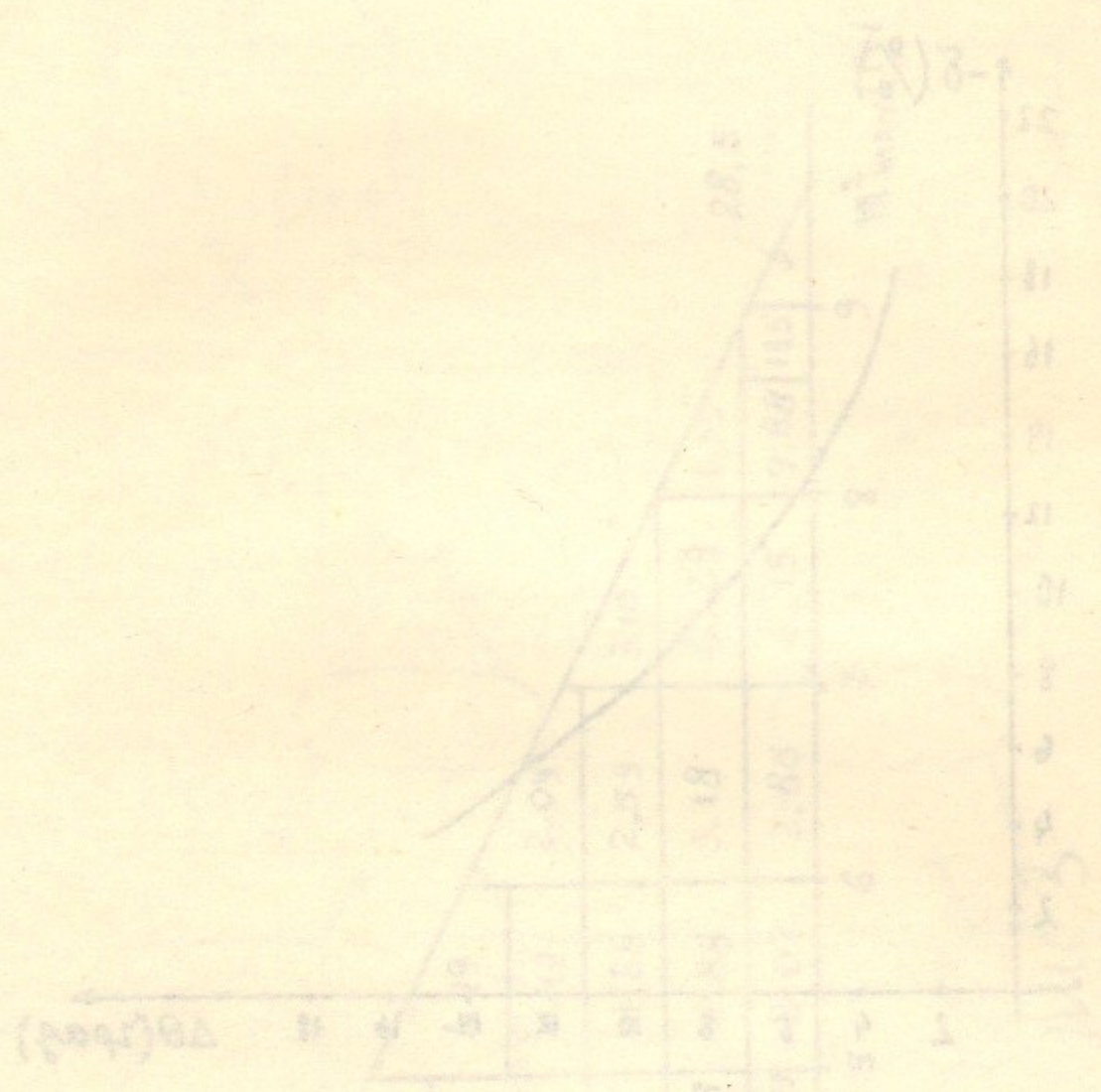


рис. 2





Работа поступила - 7 июля 1976 г.

Ответственный за выпуск - С.Г.ПОПОВ

Подписано к печати 1.ХII-1976г. № 03052

Усл. 1,4 печ.л., 1,2 учетно-изд.л.

Тираж 200 экз. Бесплатно

Заказ № II5.

Отпечатано на ротапринте ИИФ СО АН СССР